

Research Paper**Evaluation of Immunogenicity of Chitosan Nanoparticles Containing STxB and STxB-IpaD Antigens of Shigella Dysenteriae Type 1 in Mice**

Mahdi Baranvand¹, *Hosein Honari²

1. MSc, Department of Biology, Faculty of Basic Sciences, Imam Hossein University, Tehran, Iran.

2- Associate Professor, Department of Biology, Faculty of Basic Sciences, Imam Hossein University, Tehran, Iran.

Citation: Baranvand M, Honari H. [Evaluation of Immunogenicity of Chitosan Nanoparticles Containing STxB and STxB-IpaD Antigens of Shigella Dysenteriae Type 1 in Mice (Persian)]. Journal of Sabzevar University of Medical Sciences. 2016; 23(4):688-697.



Received: 8 Mar. 2016

Accepted: 19 Jun. 2016

ABSTRACT

Backgrounds The intestinal infection caused by *Shigella* and *Escherichia coli* is known as a bioterrorist agent. IpaD and STx proteins play an important role in the invasion and angiogenesis by *Shigella*. Therefore, IpaD with STxB can be appropriate candidates for a safety vaccine. In this study the immunogenicity of STxB and combined STxB-IpaD nanocapsule recombinant proteins has been examined in the form of oral and injection in mice.

Methods & Materials In this experimental study, pET28a(+) vectors containing stxB and stxB-ipaD genes were transformed into *E. coli* BL21 DE3 bacteria. These bacteria were grown on antibiotic medium and were confirmed by direct PCR, and protein expression and SDS-PAGE gel. Recombinant proteins purified by nickel column and SDS-PAGE gel and were confirmed by immunoblotting. STxB and STxB-IpaD recombinant proteins become nanoparticles by inotropic gelation method with chitosan polymer and its picture was taken by Scanning Electronic Microscope (SEM). STxB and STxB-IpaD nanocapsule antigens prescribe in the form of oral and injection four time to mice and their antibodies titer and immunogenicity were monitored.

Results By performing ELISA test, IgG antibody titer was detected by injection method but not in oral method, maybe due to loss of nanoparticle structure and antigens in acidic environment and trypsin enzyme of stomach. Immunized mice's with STxB and STxB-IpaD recombinant proteins with inotropic gel method were able to tolerance order up to 7 and 10 times the *E. coli* O157: H7 Shiga toxin LD50.

Conclusion STxB and STxB-IpaD protein nanoparticles can be used as safety injection adjuvant for immunogenesis against the *E. coli* O157: H7 Shiga toxin.

Keywords:

Shigella dysenteriae I, STxB, STxB-IpaD, Chitosan nanoparticles

*** Corresponding Author:**

Hosein honari, PhD

Address: Department of Biology, Faculty of Basic Sciences, Imam Hossein University, Tehran, Iran.

Tel: +98 (912) 3848187

E-mail: honari.hosein@gmail.com

بررسی اینمنی زایی نانوفرات کیتوسان حاوی آنتی زن های STXB و STXB-IpaD شیگلادیسانتری تیپ یک در موش سوری

مهدى باران وند، حسین هنرى^{*}

۱- کارشناس ارشد، گروه زیست‌شناسی، دانشکده علوم پایه، دانشگاه جامع امام حسین (ع)، تهران، ایران.

۲- دانشیار، گروه زیست‌شناسی، دانشکده علوم پایه، دانشگاه جامع امام حسین (ع)، تهران، ایران.

حکم

تاریخ دریافت ۱۸ اسفند ۱۳۹۴

تاریخ پذیرش: ۳ خرداد ۱۳۹۵

هدف غفوت خاد رویدای که توسط باکتری شیگلا و اشرشیاکلی ایجاد می‌شود به عنوان عامل بروتوروستی شناخته شده است. بروتوبن STXB و IpaD نقش مهمی در تهاجم و بیماری زایی شیگلاها دارد با مزوج کردن STXB-IpaD می‌توان کلندیدنی و اکسن مناسب تهیه کرد در این مطالعه اینمنی زایی بروتین های نوترکیب نانوفرات STXB-IpaD مزوجی و به صورت خواراکی و تزریقی در موش بروسی شده است. مواد و روش ها در این مطالعه تجربی، از وکتورهای pET2Xaa(+) E.coli و stxB-ipaD استفاده شد که به درون باکتری BL21 DE3 تزریق شد. بروتوبن شده این باکتری روی محیط آنتی بیوتیک رشد نداشت و با روش PCR مستقیم و پیان بروتوبن و SDS-PAGE تأیید شد. بروتوبن های نوترکیب توسط متون تیکل تخلیص و توسط ZL SDS-PAGE و اینونولاتینگ تأیید شدند. بروتوبن های نوترکیب STXB و STXB-IpaD با روش زلایی شدن یونی با پلیمر کیتوسان نانوی شدند و تصویر برداری آن با میکروسکوپ الکترونی تکاره (SEM) انجام گرفت. تجزیه خواراکی و تزریقی آنتی زن های نانوفرات STXB و STXB-IpaD در چهار نوبت متالی به موش های سوری انجام و نتیجت آنتی باری

با نتیجه با انجام آزمایش الایزا تیتر آنتی باری IgG در حالت تزریقی مشاهده شد، ولی در حالت خواراکی مشاهده نشد. ممکن است به علت اینمنی فتن مداخله نانوفر و انتی زن توسط محیط اسیدی معدن و آنزیم تریپسین باشد. موش های اینمن شده با بروتوبن های نوترکیب STXB-IpaD با روش زلایی شدن یونی تواستند به ترتیب تاختفت و در برلبر LD₅₀ شیگاتوکسین E.coli O157:H7 اتحمل کنند.

نتیجه گیری می‌توان از نانوفره بروتوبنی STXB-IpaD و STXB به عنوان اجوات تزریقی برای اینمنی زایی در برلبر شیگاتوکسین E.coli O157:H7 استفاده کرد.

کلیدواژه ها:

شیگلادیسانتری تیپ یک، STXB، STXB-IpaD نانوفرات

شیگلاسوزی، شیگلابویدی، نام گذاری شده اند

مقدمه

اسهال خونی با عامل شیگلا در صورت عدم درمان به مرگ می‌انجامد.^[۱،۲] شیگاتوکسین با STXB به عنوان یکی از عوامل ویرولاس شیگلادیسانتری تیپ یک در ایجاد اسهال خونی و دیسانتری مطرح است. شیگاتوکسین STXB انتروتوکسین شیگلادیسانتری یک بروتوبن هموینتامر با وزن مولکولی ۷۰/۵ کیلو Dalton است که از یک زیر واحد منومریک سمی و آنزیماتیک به نام STxA و از یک زیر واحد متصل شونده به رسپتور هموینتامریک به نام STXB تشکیل شده است. قسمت غیرسمی STXB برای ورود و عملکرد قسمت سمی یا STxA ضروری است.^[۳،۴]

3. S.sonneii

4. S.boydii

شیگلادیسانتری و E.coli O157:H7 از خانواده انتروباکتریاسهدا به شمار می‌آید. شیگاتوکسین با عامل اسهال خونی شیگلاست STXB از سمهای دوقسمتی A و B است که قسمت غیرسمی STxA برای ورود و عملکرد قسمت سمی با ضروری است. همچنین بروتوبن های IpaA/B/C/D/H محصول پلی‌اسید تهاجی شیگلا هستند. بروتوبن IpaD در گونه های شیگلا شبات زیادی با هم دارند. مهم ترین شیگلاها از نظر بیماری زایی و بروز ابهیمی ها چهار سروتیپ LPS (osp) در شان (O) شان (O) طبقه‌بندی می‌شوند و به نام شیگلادیسانتری ۱، شیگلادیکستری ۲،

1. S.dysentry

2. S.flexneri

* نویسنده مسئول:

دکتر حسین هنری

نشالی؛ تهران، دانشگاه جامع امام حسین (ع)، دانشکده علوم پایه، گروه زیست‌شناسی.

تلفن: ۰۹۱۲ ۲۸۸۱۸۷

پست الکترونیکی: honari.hosein@gmail.com

غیرسمی بوده و از مفتراتی چون لخته گردن خون، التهاب رازی عاری هستند. این فرات زیستی تخریب پذیر هستند و برای حمل مولکول های دارویی، هروژینی، پوتیدی یا نوکلئیک اسیدی مناسب هستند. هروژین های داروی مدنظر می توانند در سطح با درون نانوکپسول یا نانوگره قرار گیرد [۱۶، ۱۷].

ژله ای شدن یون تروفیک بر اساس پر هم کنش الکترواستاتیک بین گرومهای آمینی کیتوزان و گرومهای با بار منفی پلی آنیونی نظیر تری پلی فسفات (TPP) است. در این روش کیتوزان در اسیداستاتیک در حضور یا غیاب عامل تشییت کننده حل و پلی آنیون اضافه می شود و نانوذرات به ترتیب با همزن مکانیکی تشکیل می گردد [۱۸]. هدف از انجام این تحقیق بررسی بیان، تجویز خوارکی و تزریق آنتی زن های نانوکپسولی STxB-IpaD و STxB-IpaA به موس و بررسی تیتر آنتی بادی و آهنگی زایی علیه O₁₅₇:H7 E.coli است.

مواد و روش ها

کلستهای ژنی stxB و stxB-IpaD در وکتور pET2Aa(+) تهیه شد [۹، ۱۷، ۱۸]. وکتورهای بیانی (+) pET2Aa(+) با ژن های BL21 در سلول های مستعد E.coli سویه (DE3) (stratagen) ترانسفورم شد. کلون های انتخابی به کمک PCR تأیید شدند.

به منظور بیان ژن های stxB و IpaD از گشت شبکه کلون های جداسازی شده میزان ۱۰۰ میکرولیتر به ۵ میلی لیتر محیط LB مایع تلقيق شد و پس از رسیدن OD ۰/۰ در طول موج ۶۰۰ نانومتر (برای بدست آوردن میزان رشد باکتری)، ماده القاکننده پروموتر (IPTG) فرماتاز با غلظت ۱ میلی مولار به محیط کشت افزوده و به مدت ۳ ساعت در دمای ۳۷ درجه سانتی گراد انگویه شد. الکتروفورز SDS-PAGE نمونه ها قبل و بعد از القای همراه با مارکر هروژینی (SM-۶۷۱) تحت شرایط دناتوره الکتروفورز شدند. غلظت ۷L ۱۲ درصد با چربان ثابت ۲۵ میلی آمپر بود.

برای تأیید پروتئین های نو ترکیب بیان شده از تکنیک ای موونیلات با آنتی بادی ضد His-tag استفاده شد. عصاره سلولی پس از بیان با استفاده از سیستم لکه گذاری وسترن Bio-rad (Mini Protean) و بافر انتقال (کلابسین ۱۹۲ میلی مولار، تریس ۲۵ میلی مولار، SDS ۱٪ درصد و متانول ۲۰ درصد و pH: ۸/۳) روی کاغذ نیتروسلولز منتقل شد. کاغذ نیتروسلولز با استفاده از بافر PBST ۳٪ NaCl، ۲٪ KCl، ۲٪ Na₂HPO₄، ۷٪ H₂O₂ میلی مولار، توبین ۰/۲ درصد و pH: ۷/۲ (pH: ۷/۲) حاوی ۵ درصد شیر خشک به مدت ۱۶ ساعت در دمای ۴ درجه سانتی گراد پلاک شد.

نمونه پس از سه بار شستشو با بافر PBST به مدت پک ساعت با رقت ۱/۱۰۰۰ آنتی بادی ضد His-tag (Ebcam) کاژنوزکدار در بافر PBST در دمای اتاق مجاور شد. در نهایت پس از سه بار

هر منومر از ۹۹ اسیدآمینه تشکیل شده است و وزن مولکولی حدود ۷۷ kDa دارد [۲، ۴]. STxB به گیرنده سطح سلولی خود به نام Gb³ متصل می شود که روی اکثر سلول های بدن بیان می شود [۵]. مطالعات نشان داده است بیان Gb³ در سطح سلول های سرطانی انسان فراوانی بسیار زیادی دارد Gb³ بیان زیادی در سطح سلول های سرطانی مثل لنفوما، کارسینوما های تخدمان، سینه و کلون دارد همچنین این فراوانی در سطح سلول های دندانی (DC) انسان و موش نیز دیده می شود [۶].

با تزریق زیرپوستی یا تجویز نازالی آنتی زن STxB آنتی بادی STxB تولید می شود و با خنثی سازی آن می توان از اتصال و ورود قسمت سمتی (STxA) به شرون سلول هدف جلوگیری کرد. همچنین یکی دیگر از عواملی که در بیماری زایی شیگلا نقش دارد پروتئین های IpaA/B/C/D/H IpaB/C/D تهاجمی شیگلا هستند. کمپلکس ایجاد شده از سه پروتئین IpaA/B/C/D نقش بسیار مهمی در اتصال به سلول های اپیتلیالی روده (M-cell) و فرار از فاکتور مانکرو فاکتورها بازی می کند [۷، ۸].

توالی نوکلئوتیدی و اسیدآمینهای IpaD بین گونه های شیگلا شباخت زیادی نسبت به هم دارند. به این صورت که توالی IpaD در شیگلا دیسانتری سروتیپ ۱ با شیگلا بیونیدی ۹۸ درصد و شیگلا سونشی ۹۵ درصد و شیگلا فلکستری ۹۶ درصد کاملاً همولوژی دارد [۹]. با تولید آنتی بادی پلی کلونال IgG علیه IpaD می توان از بیماری زایی شیگلا جلوگیری کرد. با تولید آنتی زن های STxB، STxB-IpaD در باکتری E.coli BL21 و بررسی بیان و آهنگی زایی آن در موس و خوکچه هندی به عنوان کاندیدنای واکسن علیه بیماری شیگلاوز مطرح است [۱۰، ۱۱، ۱۲].

کیتوزان یک آمینو پلی ساکارید خطی ترکیبی از ایلامات به مطورو تصادفی پراکنده شده که واحد های بنا (۱→۴)-D-گلوكزامین و N- استیل-D-گلوكزامین است. کیتوزان از داستیلاسیون گیتین (پلی ساکارید طبیعی و فراوان موجود در اسکلت خارجی سخت پوستی همچون خرچنگ و میگو) تهیه می شود. این پلی ساکارید گاتیونی به دلیل دسترسی فراوان، چسبندگی بی نظیر به موکوس، خواص دارویی مناسب و زیست سازگاری، زیست تخریب پذیری، سی نیوتن و تحریک کم سیستم ایمنی، در زمینه های بیوپزشکی و دارویی به صورت تزریقی، نازالی، خوارکی، وریدی و غیره استفاده می شود [۱۳].

کپسوله گردن هروتین های درمانی در نانوذرات، گزینه امیدبخشی برای غلبه بر مشکلاتی است که با تزریق دهانی هروتین های ایجاد می شود. متصل گردن هروتین های به ماتریکس پلیمری سدی در مقابل تخریب آنزیمی و هیدرولیتیکی در محیط بدن است [۱۴، ۱۵]. نانوذرات کاپتوزانی و پلیگی رهاسازی کنترل شده، ممتدا و زیست سازگاری دارند. علاوه بر این در خون

عکس گرفته شد [۱۴، ۱۵، ۲۰]

برای پروتئین سنجی بعد از تشکیل نانوذرات دلای نمونه پروتئین و بدون پروتئین (نمونه کنترل) و ساتریفیوژ محلول رویی جدا شد و با روش برادیفورده با طول موج ۹۵ nm، عددی را که دستگاه اسپکتروفوتومتر برای کنترل نشان می دهد از عددی که دستگاه از محلول رویی نمونه پروتئینی خوانده است کم کرده و با توجه به نمودار استاندار برادیفورده مقدار پروتئینی را که نانوذرت نشده و در محلول رویی است محاسبه کرده و با کم کردن این مقدار پروتئین از کل پروتئین استفاده شده تقسیم بر کل پروتئین، ضرب در ۱۰۰، مقدار درصد افیشننسی یا نانویی شدن پروتئین بدست آمد (فرمول زیر).

$$\frac{\text{کل پروتئین} - \text{پروتئین قابل حل}}{\text{کل پروتئین}} \times 100\%$$

به منظور تولید آنتی بادی علیه پروتئین های STxB و STxB IpaD به میزان ۱۰ و ۱۵ و ۲۰ میکروگرم از پروتئین های نانوذره STxB-İpaD و STxB STxB و STxB-İpaD در چهار نوبت به صورت خوارگی و تزریقی به موش ها تجویز و درنهایت از موش ها خون گیری و توسط آزمایش الایزا تیتر آنتی بادی آن اندازه گیری شد [۱۷، ۱۸، ۲۰].

به منظور چالش حیوانات ایمن شده با عصاره سلولی E.coli سویه H7:157 بعد از ایمن سازی حیوانات به اندازه ۳۰۰ میکروگرم از عصاره سلولی E.coli سویه H7:157 به موش های شاهد تزریق شد که همه مردند و تا هفت و ده برابر LD₅₀ از این عصاره سلولی به موش های ایمن شده تزریق و بعد از ۲/۵ روز نتایج آن بررسی شد و حیوانات تا ۱۰ روز تحت نظر قرار گرفتند.

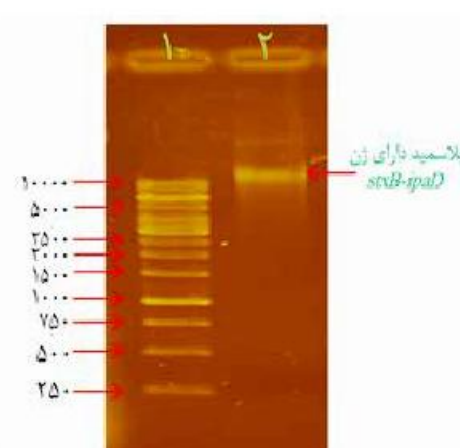
شستشو با بالفو PBST برای آشکارسازی از سوبسترا (بالفو تریس ۵ mM pH ۷/۸ mg H₂O ۱۰ µl) استفاده شد پس از انجام واکنش بین گلائزه که و سوبسترا و ظاهر شدن باند پروتئینی روی گلائز نیتروسولزی، واکنش با استفاده از H₂O موقوف شد [۲۰].

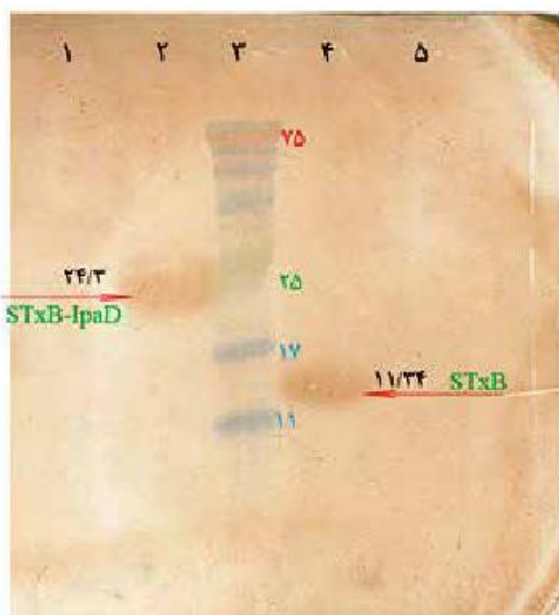
پروتئین حاصل تحت شرایط دناتوره و با استفاده از ستون-Ni NTA چدا سازی و نمونه های حاصل روی ۱۲ درصد الکتروفوروز شد غلظت پروتئین بیان شده به کمک روش برادیفورده و با استفاده از آلبومین سرم گاوی (BSA سینناز) به عنوان استاندار انجام گرفت [۲۰]. به منظور تهیه نانوذره با روش زلایی شدن یونی ابتدا پلیمر کایتوسان با غلظت نهایی ۱ درصد (۱ mg/ml) به محلول استیک اسید ۱ درصد (۱ ml) اضافه شد و محلول با یک مگنت مغناطیس و همزن برقی گلماً هموژنیزه و همگن شد.

در مرحله بعد pH محلول کایتوzan بسته به PI پروتئین تنظیم شد (پروتئین PI=۶/۷، STxB ۱ درصد (۱ ml) به محلول در pH=۶/۷ تنظیم شد) سپس به مقدار مورد نیاز (۱۵ µg) از آنتیزن STPP پروتئینی مدنظر به محلول اضافه شد در مرحله بعد نمک با غلظت نهایی ۵ درصد (۵۰۰ µM) به محلول اضافه شد (هر ۵ دقیقه ۵۰ میکرولیتر) تا به رنگ شبیری درآمد حین اضافه کردن نمک باید سونیکاسیون (۵ مرتبه و هر مرتبه ۲۰ ثانیه) انجام می شد در این مرحله نانوذرات در حال شکل گیری است. بعد از یک ساعت محلول در تیوب یا فالکون ریخته و در ساتریفیوژ با دور ۱۴۰۰۰ و در زمان ۴۵ دقیقه و در دمای ۱۰ درجه قرار داده شد نانوذرات به ته تیوب می چسبید و محلول بالایی برای پروتئین سنجی با روش برادیفورده جدا شد تیوب حاوی نانوذرات STxB گلماً خشک و در دمای ۴ درجه سانتی گراد نگهداری شد از نانوذرات به دست آمده با میکروسکوپ اسکن الکترونی (SEM)،



تصویر ۱: تصویر از ژل آگاروز ۱ درصد تصویر سمت راست: ستون ۱: نشانگر مولکولی pb ۱۰۰۰ میکروگرم استخراج پلاسمید دلای زن stx2-İpaD تصویر سمت چپ: ستون ۱: باند حاصل از RCP مستقیم زن سنتیک stx2-İpaD و مشاهده قطعه ۴۹۵ جفت بازی ستون ۲: نشانگر مولکولی pb ۱۰۰۰ میکروگرم استخراج از RCP مستقیم زن stx2 و مشاهده قطعه ۳۷۲ جفت بازی

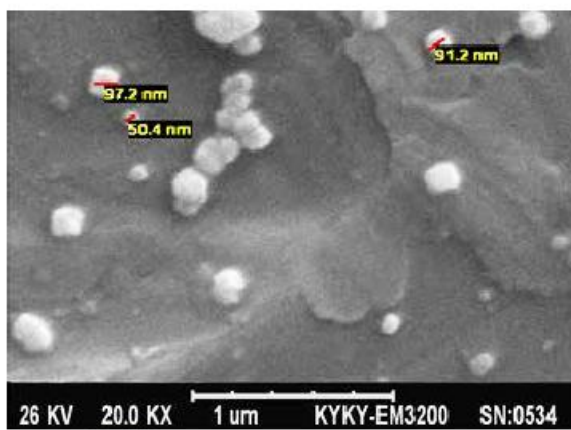




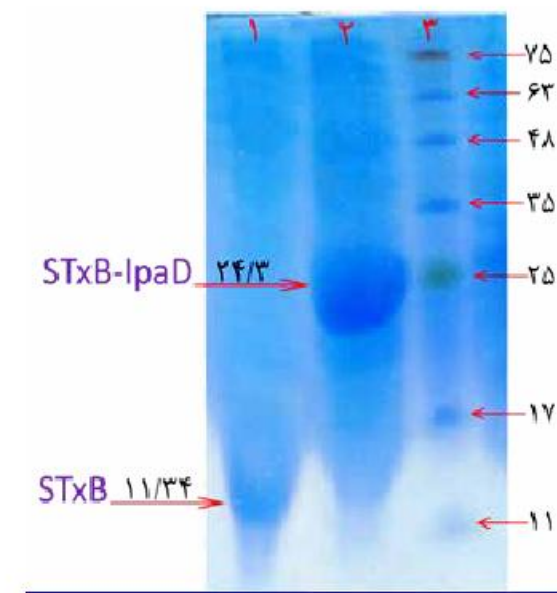
تصویر ۳. تصویر تکنیک وسترن بلاک بر روی کاغذ نیتروسولاز ستون ۱: نمونه کنترل منفی بیان نشده STxB-IpaD ستون ۲: نمونه تست بیان شده از پروتئین IPTG توسط STxB-IpaD شده از پروتئین های STxB ستون ۳: نمونه کنترل منفی بیان نشده STxB

آن روی ژل SDS-PAGE پرده شد. باند پروتئینی STxB-IPAD به ترتیب در جایگاه صحیح ۱۱/۳۴ kDa و ۲۴/۳ قرار گرفت. در حالی که در کنترل ها هیچ باندی دیده نشد (تصویر شماره ۲). پروتئین های نوترکیب به کمک ستون نیکل خالص سازی و غلظت پروتئین های تولید شده به روش برادیفورد اندازه گیری شد.

آنالیز وسترن بلاستینگ با آنتی بادی ضد His-tag انجام شد. بیان پروتئین های STxB-IpaD و STxB به دلیل داشتن توالی His-tag به کمک وسترن بلاک و به کارگیری آنتی بادی علیه His-tag تأیید شد. باند وسترن در جایگاه صحیح مذکور قرار گرفت، اما در ستون کنترل هیچ باندی دیده نشد (تصویر شماره ۳).



تصویر ۴. تصویر میکروسکوپ الکترونی نکاره (SEM) از نانوکپسول STxB-IpaP

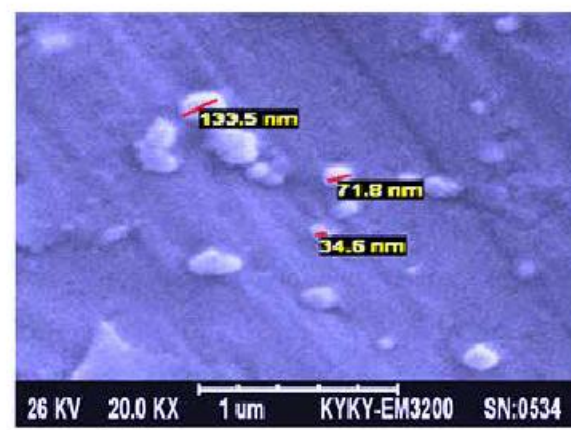


تصویر ۴. بیان پروتئین های نوترکیب بر روی ژل SDS-PAGE ستون ۱: بیان پروتئین STxB که دارای وزن مولکولی ۱۱/۳ KDa است. ستون ۲: بیان پروتئین STxB-IpaD که دارای وزن مولکولی ۲۴/۳ kDa است. ستون ۳: نشانگر پروتئینی.

پافتمها

تأیید حضور ژن با PCR مستقیم انجام گرفت. پلاسمیدهای نوترکیب تهیه شده به باکتری E.coli BL21DE3 ترانسفورم شد. به منظور تأیید حضور قطعه مورد نظر در وکتور بیانی (+) pET28a از واکنش PCR استفاده شد (تصویر شماره ۱).

برای بیان پروتئین STxB و STxB-IpaD تخلیص آن، کلئی انتخابی در محیط کشت LB مایع در ۳۷ درجه سانتی گراد کشت داده شد و پس از رسیدن به رشد کافی به منظور بیان پروتئین توسط IPTG یک میلی مolar القاگردید و برای بررسی بیان و کیفیت

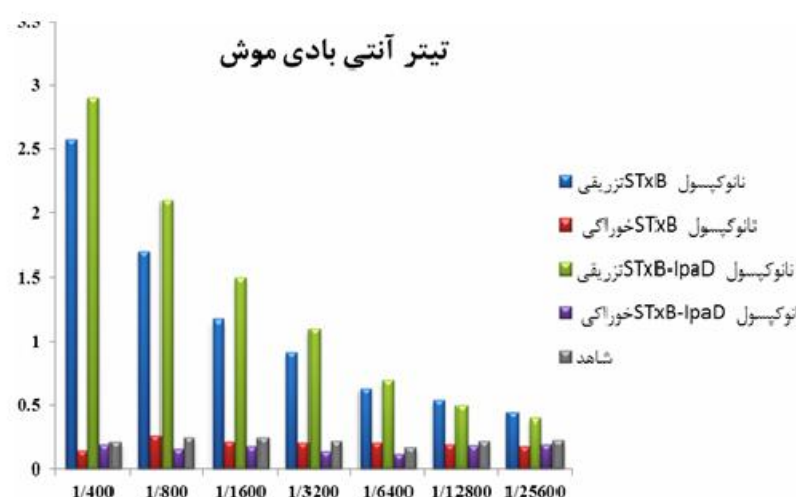


تصویر ۵. تصویر میکروسکوپ الکترونی نکاره (SEM) از نانوکپسول STxB

جدول ۱. تجویز خوراکی ها تزریق زیرجلدی آنتیزن به موس.

آنتیزن STxB-IpaD و روغن تجویز		آنتیزن STxB و روش تجویز		روز تجویز	شماره تزریق
خوراکی	زیرجلدی	خوراکی	زیرجلدی		
۴۰ μg	۲۰ μg	۲۰ μg	۲۰ μg	۱	۱
۴۰ μg	۱۵ μg	۳۰ μg	۱۵ μg	۱۳	۲
۲۰ μg	۱۰ μg	۲۰ μg	۱۰ μg	۶۸	۳
۲۰ μg	۱۰ μg	۲۰ μg	۱۰ μg	۹۲	۴

تیتر آنتی بادی موس



تصویر ۶. تیتراسیون سرم موس.

تصویر پوهاری SEM

آمد (جدول شماره ۱). بعد از جداسازی سرم آنها آزمایش الایزا انجام شد که نمودار میانگین تیتر آنتی بادی در هو مرحله در تصویر شماره ۶ نشان داده شده است.

به منظور انجام چالش به موس های ایمن شده تا هفت و ده هر ایزابر LD_{50} عصاره شیگاتوکسین با غلاظت های ذکر شده در جدول شماره ۲ تزریق شد و به مدت ۵۰ روز تحت نظر قرار گرفته شد. همان طور که نتایج آماری نشان می دهد گروه های

از نانوکپسول های گیتوسان در برگیرنده آنتیزن های STxB و STxB-IpaD به میله میکروسکوپ الکترونی عکس پرداری شد (تصویر شماره ۴ و ۵). به منظور ارزیابی آنتی بادی تولید شده و محاسبه میزان آن در هر مرحله تجویز از روش الایزا غیر مستقیم استفاده شد. دو هفته بعد از تزریق سوم و چهارم به صورت تصادفی از موس های تست و شاهد خون گیری به عمل

جدول ۲. نتایج چالش گروه های موسی با عصاره سلولی باکتری E.coli O157:H7

ردیف	گروه موسی	میزان تزریق شده	میزان عصاره سلولی تزریق شده	مقایسه گروهها	مقایسه آماری
۱	PBS + گیتوسان تزریق	۳۰۰ μg	مرد		
۲	ننانوکپسولی STxB تزریق	۲۱۰۰ μg	زنده	P<0.001	#
۳	نانوکپسولی خوراکی STxB	۳۰۰ μg	مرد	ns	#
۴	نانوکپسولی STxB-IpaD تزریق	۳۰۰۰ μg	زنده	P<0.001	#
۵	نانوکپسولی خوراکی STxB-IpaD	۳۰۰ μg	مرد	ns	#

شیگاتوکسین تولید و به سلول‌های اپیتلیال روده بزرگ حمله می‌کند و سبب آماس و زخم‌هایی روی دیواره روده می‌شود که نتیجه آن اسهال خونی است.

باکتری شیگلا با به کارگیری سیستم ترشحی نوع سه عامل بیماری‌زای خود را به سلول میزبان انتقال می‌دهد. پروتئین IpaD عملی است که در رأس این سیستم برای تهاجم باکتری به سلول میزبان ضروری است. IpaD یک پروتئین چندکاره است که ترشح و عرضه پروتئین‌های IpaB و IpaC را در حد فاصل سلول میزبان و باکتری و همچنین نفوذ صحیح ناقل‌های پروتئینی به داخل سلول میزبان کنترل می‌کند. پروتئین IpaD یک پروتئین ۳۷ kDa است و بین سایر پروتئین‌های ابرون Ipa تنها پروتئین Ipa آبدوست است. ناحیه N-ترمینال نزدیک به مرکز در تمامی مطالعات پک ناحیه عملکردی و بسیار مهم در IpaD نقی می‌شود. در مطالعاتی که به منظور شناسایی این توبهای IpaD انجام شد غالب این توبهای در دسترس IpaD در این ناحیه قرار داشتند همچنین عملکرد IpaD به عملکرد این ناحیه بستگی دارد. به طوری که اگر فعالیت آن سرکوب شود به طور کلی قابلیت تهاجم شیگلا سرکوب می‌شود [۲۳، ۲۴].

مطالعات نشان دادند آنتی‌بادی‌هایی که ناحیه N-ترمینال پروتئین IpaD را شناسایی می‌کنند برهم کنش این پروتئین با نمک‌های صفرایی بهوژه‌ای اکسی کولات را سرکوب می‌کنند. در این حالت باکتری قادر به انجام فعالیت ویژه خود برای فراخوانی و به کارگیری IpaB نخواهد بود. در نتیجه توان شیگلا برای ایجاد منفذ در سلول یوکاریوتی از بین می‌رود و فرایند ورود باکتری به درون سلول میزبان سرکوب می‌شود. این نتایج نشان می‌دهد پروتئین IpaD و بهوژه‌ای ناحیه N-ترمینال این پروتئین عامل لازم برای ورود باکتری شیگلا به سلول‌های میزبان است و این پروتئین به عنوان آنتی‌زن بالقوه در طراحی واکسن مطرح است [۲۵].

آنتی‌بادی علیه IpaD می‌تواند توانایی باکتری را برای تهاجم از بین ببرد. آزمایش‌ها در محیط *in vivo* نیز با استفاده از روده خرگوش انجام شد بدین ترتیب که پس از تهیه آنتی‌بادی Anti-IpaD با روش ایمونیزه‌کردن خرگوش‌ها آنتی‌بادی‌ها را در رقت‌های مختلف با باکتری شیگلا مخلوط کرده و از آن در آزمایش Rabbit Intestinal iliac loops نشان داد در ظرفت‌های اولیه آنتی‌بادی هیچ ضایعه‌ای در روده ایجاد نشد در صورتی که در آزمایش کنترل منفی که باکتری بدون حضور آنتی‌بادی درون روده خرگوش قرار گرفت سرتاسر روده دچار ضایعه شد [۲۶].

تحقیقات مشخص کردن مقدار آنتی‌زنی که در حالت فیوژن شده با یک ادجوانات برای مصرف ضروری است کمتر از مقداری است که به صورت تجویز همزمان برای ایمنی‌زایی

تزریقی نانوگپسولی STXB و STXB-IpaD با گروه‌های خوراکی نانوگپسولی STXB و STXB-IpaD اختلاف معناداری با همبینگر دارند (جدول شماره ۲).

بحث

بیماری شیگلازیز به عنوان اسهال خونی با سیلی حاد شناخته می‌شود که با مدفع آبکی همراه با خون و موکوس تأم با علامت بالینی چون تب، کرامپ‌های شکمی مشخص می‌شود که ممکن است به همراه سندروم اورمیک همولیتیک باشد از طرفی شیگاتوکسین می‌تواند مشکلات سیتو توکسیک و نورو توکسیک ایجاد کند. امروزه تلاش‌های زیادی برای ساخت واکسن علیه شیگلا و سه آن انجام شده و کلاندیدن‌های زیادی گزارش شده است. تامروز سازمان جهانی سلامت WHO و هیچ کدام از این کلاندیدن‌ها را به دلایل مختلف تأیید نکرده‌اند، اما تلاش‌ها برای ساخت واکسن علیه شیگلاز به طور جدی ادامه دارد.

نتایج پژوهش‌های منتشرشده در خصوص شیوع شیگلا در ایران نشان می‌دهد تا چند سال پیش شیگلافلکسنزی بیشترین شیوع را در ایران داشته است. در رتبه‌های بعدی به ترتیب شیگلاسوننی و شیگلا دیپسانتری قرار دارند و مقدار کمی شیگلابوئیدی مشاهده شده است. مطالعات جدید نشان می‌دهد شیگلاسوننی از شیگلافلکسنزی شایع‌تر است تقریباً همین ترتیب شیوع شیگلا در کشورهای همسایه ایران (عربستان و پاکستان) نیز گزارش شده است [۹۰، ۱۰۰، ۱۸۰، ۲۲].

با توجه به گزارش محققان ایرانی مبنی بر فراوانی وقوع و مقاومت آنتی‌بیوتیکی شیگلا این باکتری می‌تواند به عنوان یک عامل ناآنکننده مورد توجه قرار گیرد. بنابراین لازم است سوش‌های بومی ایران به منظور تهیه واکسن مطالعه شوند [۲۷]. هیچ واکسنی برای شیگلا به صورت رایج در دسترس نیست. هر چند سلول‌های T در حفاظت علیه شیگلا نقش دارند، اما برای ایمن‌شدن ضروری نیستند. داده‌های حاصل از چندین مطالعه نشان داد پاسخ سیستمیک و مخاطلی علیه LPS و علیه شیگلا با هر دو پاسخ سیستمیک و مخاطلی علیه LPS و تعدادی از پروتئین‌های کشیده توسط پل‌اسید بیماری‌زا از جمله پروتئین‌های Ipa دارد. هنوز شیگلا دیپسانتری تیپ پک عمدت‌ترین علت ایمیدمی اسهال در صد سال اخیر است و نسبت مرگ‌ومیر آن در کشورهای جهان متفاوت است [۲۸].

مکانیسم بیماری‌زایی این باکتری شامل دو مرحله کلیدی است. مرحله اول شامل اتصال و بدبندی آن کلونی‌زاییون باکتری به سطح سلول‌های این تلیال روده کوچک با فاکتورهای کلونی‌زاییون که باعث تورم و ایجاد رضم‌های سطحی و تجمع پلی نوکلئورها و بالاخره نکروز و خونریزی می‌شود و به صورت بلغم و خون همراه با مدفع می‌شود. در مرحله دوم باکتری

خوارکی آنتی زن نانوفراخای در ابتدا باید به موش ها هیدروکسید الومینیوم خورانده شود تا pH اسیدی معدن خنثی و ساختار کپسول های کیتوسانی حفظ شود و آنتی زن از pH اسیدی معدن و آنتی زن تریپوسین در امان باشد و درنهایت با سلول های اپیتلیالی روده جذب شود با توجه به بالابودن تیتر آنتی بادی تزریق نانوفراخای تحمل موش های ایمن شده در برابر عصاره حلوی شیگاتوکسین بالا بوده است و همچنین از نظر اقتصادی و زمان تهیه مقرون به صرفه است و به عنوان یک گلندیدای واکسن مناسب است.

تشکر و قدردانی

این مقاله از پایان نامه مقطع کارشناسی ارشد آقای مهدی برانوند در گروه زیست شناسی دانشگاه جامع امام حسین (ع) گرفته شده است. از تمامی اساتید و پژوهشگران و همکاران محترم در دانشگاه جامع امام حسین (ع) که در پیوند و سپاهان این تحقیق تلاش کردهند تشکر و سپاسگزاری می شود.

استفاده می شود. این نشان دهنده مزیت متصل کردن آنتی زن های ادجوانه های مختلف است. امروزه توجه خاصی به واکسن هایی شده است که این مزیت را دارند [۲۵]. به منظور تقویت اثر واکسن و رفع محدودیت عدمه آن یعنی میزان ایمنی زایی پایین آنتی زن های محلول، باید ناحیه N ترمینال IpaD به عنوان آنتی زن کلندیدای واکسن شیگلوز با یک ایمنی تراویح مطابق با انتخاب همراه شود که برای این منظور در این مطالعه stxB در باکتری E.coli کلون و بیان آن بررسی شد و ایمنی زایی آن به اثبات رسید [۱۲، ۲۶].

مطالعات نشان می دهد به خاطر وزن مولکولی پایین STxB پاسخ ایمنی ناچیزی علیه آن دیده می شود. امروزه دانشمندان زیادی برای انتقال داروهای فضسرطان به سلول های STxB و گاهش اثرات سو سیمی درمانی به STxB، به خاطر اتصال اختصاصی با گیرنده ۳Gb روی اکثر سلول های سرطانی، توجه می کنند [۲۴، ۲۷]. به منظور افزایش ایمنی زایی مخلوط علیه STxB آزمایش پروتئین تخلیص شده STxB به کمک میکروسفرهای لیپیدی سنتتیک به صورت نازل تلقیح شد که نتیجه آن تقویت STxB-IpaD نسبی پاسخ ایمنی را نشان داد با ممزوج کردن میزان ایمنی زایی آن با استفاده از سه فعال E.coli O157:H7 در خوکچه هندی تا ۲۸ هر افزایش یافت [۲۵، ۲۸].

نتایج الایزای این آزمایش نشان داد تیتر آنتی بادی علیه آنتی زن های STxB-IpaD و STxB در موش اندگی متفاوت بود و با ممزوج شدن STxB به میزان تیتر آنتی بادی افزایش یافت. موش های ایمن شده با StxB توانستند تا ۷ برابر LD₅₀ و موش های ایمن شده با STxB-IpaD تا ۱۰ برابر LD₅₀ شیگاتوکسین O157:H7 را تحمل کنند برای تحویل آنتی زن از طریق دهان از نانوفراخات چسبنده به موکوس که با سلول های اپیتلیال برهم گش داشته و امکان افزایش جذب آنتی زن را فراهم می سازند استفاده شد [۲۹، ۳۰].

به منظور بررسی پاسخ سیستم ایمنی همورال پروتئین نوکرکیب STxB-IpaD و STxB این پروتئین به موش سوری به روش خوارکی و تزریقی به همراه PBS به شکل نانو کپسول تجویز شد و بعد از خون گیری تیتر آنتی بادی (IgG) سرمی بررسی شد برای به چالش کشیدن و بررسی قدرت حفاظت کنندگی آنتی بادی تولید شده ایمنی زایی روی موش صورت پذیرفت. با توجه به گزارش های شیوع شیگلادر ایران، با در نظر گرفتن همولوژی بالادر گونه های STx و نیز مطالعات مشابه انجام شده در این مرکز به جای استفاده از شیگاتوکسین از سه E.coli O157:H7 استفاده شد.

با توجه به تصاویر تیتر آنتی بادی و نتایج چالش موش ها نتیجه می گیریم روش زلمه ای شدن یونی و نانو کپسول را می توان برای ساخت واکسن با آنتی زن STxB و STxB-IpaD به کار برد که از نظر اقتصادی و زمانی نیز مقرون به صرفه است در روش تجویز

References

- [1] Key B, Clemens J, and Kotloff. Generic protocol to estimate the burden of shigella diarrhea and dysenteric mortal. Geneva: World Health Organization.
- [2] Swapan KN. Shigellosis. *The Journal of Microbiology*. 2005; 133-43.
- [3] Oludare O, Dequina N, Hiroshi Y, William L. AB Toxins: A paradigm switch from deadly to desirable. *Toxins*. 2010; 2(7):1612-45. doi: 10.3390/toxins2071612
- [4] Pina DG, Johannes L. Cholera and Shiga toxin B-subunits: Thermodynamic and structural considerations for function and biomedical applications. *Toxicon*. 2005; 45(4):389-93. doi: 10.1016/j.toxicon.2004.12.014
- [5] Bouter A, Delord B, Dransart E, Poirier C, Johannes L, van Effenterre D. Intracellular trafficking of Shiga-toxin-B-subunit-functionalized spherulites. *Biology of the Cell*. 2008; 100(12):717-25. doi: 10.1042/bc20080009
- [6] Janssen KP, Vignjevic, Boisgard R, Falguie T, Bousquet G, Decaudin D, et al. In vivo tumor targeting using a novel intestinal pathogen-based delivery approach. *Cancer Research*. 2006; 66(14):7230-36. doi: 10.1158/0008-5472.can-06-0631
- [7] Sani M, Botteaux A, Parsot C, Sansonetti P, Boekema Ej, Allaoui A. IpaD is localized at the tip of the shigella flexneri type iii secretion apparatus. *Biochimica et Biophysica Acta*. 2007; 1770(2):307-311. doi: 10.1016/j.bbagen.2006.10.007
- [8] Man A, Prieto G and Nicoletti C. Improving M-Cell-mediated transport across mucosal barriers. *Immunology*. 2004; 113(1):15-22. doi: 10.1111/j.1365-2567.2004.01964.x
- [9] Saadati M, Heiat M, Nazarian S, Barati B, Honari H, Doroudian M, et al. Cloning and expression of N-terminal region of IpaD from Shigella Dysenteriae in E. coli. *Journal of Paramedical Sciences*. 2010; 1(4):12-17.
- [10] Honari H, Amlashi I, Minaei ME, Safaei S. [Immunogenicity in guinea pigs by IpaD-STxB recombinant protein (Persian)]. *Arak Medical University Journal*. 2013; 16(73):83-93.
- [11] Honari H, Amlashi I, Minaei M. [Expression of Recombinant Proteins IpaD-STxB and Immunogenicity STxB in the Mice (Persian)]. *Journal of Mazandaran University of Medical Sciences*. 2014; 23(109):196-206
- [12] Honari H, Baranvand M, Minaei ME. [Immunogenicity Investigation of recombinant proteins (StxB) of Shigella dysenteriae type 1 in mice (Persian)]. *Journal of Sabzevar University of Medical Sciences*. 2015; 21(6):1103-1112.
- [13] Park JH, Saravanakumar G, Kim K, Kwon IC. Targeted delivery of low molecular drugs using chitosan and its derivatives. *Advanced Drug Delivery Reviews*. 2010; 62(1):28-41. doi: 10.1016/j.addr.2009.10.003
- [14] Makhlof A, Tozuka Y, Takeuchi H. Design and evaluation of novel pH-sensitive chitosan nanoparticles for oral insulin delivery. *European Journal of Pharmaceutical Sciences*. 2011; 42(5):445-51. doi: 10.1016/j.ejps.2010.12.007
- [15] Amini Y, Tebianian M, Mosavari N, Fasihi Ramandi M, Ebrahimi SM, Dabaghian M, et al. Preparation of ESAT-6 nanoparticles and evaluation of humoral immunity after intranasal administration. *Journal of Shahid Sadoughi University of Medical Sciences*. 2012; 20(5):605-14.
- [16] Danhier F, Ansorena E, Silva JM, Coco R, Le Breton A, Prat V. PLGA-based nanoparticles: An overview of biomedical applications. *Journal of Controlled Release*. 2012; 161(2):505-22. doi: 10.1016/j.conrel.2012.01.043
- [17] Suh WH, Suslick KS, Stucky GD, Suh YH. Nanotechnology, nanotoxicology, and neuroscience. *Progress in Neurobiology*. 2009; 87(3):133-70. doi: 10.1016/j.pneurobio.2008.09.009
- [18] Ranjbar R, Soltan Dallal MM, Pourshafie MR, Aslani MM, Majdzadeh R. Serogroup Distribution of Shigella in Tehran. *Iranian Journal of Public Health*. 2004; 33(3):32-35.
- [19] Madanchi H, Honari H, Hesaraki H, Sayadnanesh A. Cloning and expression of stxB gene from shigella dysenteriae type I in E. coli Rosetta DE3. *Genetics in the 3rd Millennium*. 2012; 1:2641-2647.
- [20] Bernkop-Schnurch A, Dünnhaupt S. Chitosan-based drug delivery systems. *European Journal of Pharmaceutics and Biopharmaceutics*. 2012; 81(3):463-9. doi: 10.1016/j.ejpb.2012.04.007
- [21] Homayoni H, Ravandi SAH, Valizadeh M. Electrospinning of chitosan nanofibers: Processing optimization. *Carbohydrate Polymers*. 2009; 77(3):656-61. doi: 10.1016/j.carbpol.2009.02.008
- [22] Ranjbar R, Hagh-Ashtiani MT, Jonaidi Jafari N, and Abedini M, The prevalence and antimicrobial susceptibility of bacterial uropathogens isolated from pediatric patients. *Iranian Journal of Public Health*. 2009; 38(2):134-138.
- [23] Chia M-Y, Hsiao S-H, Chan H-T, Do Y-Y, Huang P-L, Chang HW, et al. The immunogenicity of DNA constructs co-expressing GP5 and M proteins of porcine reproductive and respiratory syndrome virus conjugated by GPGP linker in pigs. *Veterinary Microbiology*. 2010; 146(3-4):189-99. doi: 10.1016/j.vetmic.2010.05.007
- [24] Hromockyj AE, Maurelli AT. Identification of an Escherichia coli gene homologous to virR, a regulator of Shigella virulence. *Journal of Bacteriology*. 1989; 171(5):2879-81. doi: 10.1128/jb.171.5.2879-2881.1989
- [25] Magistris MT. Mucosal delivery of vaccine antigens and its advantages in pediatrics. *Advanced Drug Delivery Reviews*. 2006; 58(1):52-67. doi: 10.1016/j.addr.2006.01.002
- [26] Zhu C, Yu J, Yang Z, Davis K, Rios H, Wang B, et al. Protection against Shiga toxin-producing Escherichia coli infection by transcutaneous immunization with Shiga toxin subunit B. *Clinical and Vaccine Immunology*. 2007; 15(2):359-66. doi: 10.1128/cvi.00399-07
- [27] Gupta P, Singh MK, Singh Y, Gautam V, Kumar S, Kumar O, et al. Recombinant Shiga toxin B subunit elicits protection against Shiga toxin via mixed Th type immune response in mice. *Vaccine*. 2011; 29(45):8094-100. doi: 10.1016/j.vaccine.2011.08.040
- [28] Esmaeili A, Honari H, Hamedian M, Safaei S, Ghofrani M. Targeted cloning of GFP as a tracker and its fusion mediated by PRARR flexible linkers to CTB-STB chimerical vaccine genes. *Genetics in the 3rd Millennium*. 2012; 10(1):2657-2665.
- [29] Soane R, Frier M, Perkins A, Jones N, Davis S, Illum L. Evaluation of the clearance characteristics of bioadhesive systems in humans. *International Journal of Pharmaceutics*. 1999; 178(1):55-65. doi: 10.1016/s0378-5173(98)00367-6
- [30] Bacon A, Makin J, Sizer PJ, Jabbal-Gill I, Hinchcliffe M, Illum L, et al. Carbohydrate biopolymers enhance antibody responses to mucosally delivered vaccine antigens. *Infection & Immunity*. 2000; 68(10):5764-70. doi: 10.1128/iai.68.10.5764-5770.2000